

# 透明导电 $\text{Cd}_2\text{SnO}_4$ 薄膜的光学特性研究\*

彭栋梁 蒋生蕊

(兰州大学物理系, 兰州 730001)

## 提 要

报道了射频反应性溅射 Cd-Sn 合金靶沉积的  $\text{Cd}_2\text{SnO}_4$  (简称 CTO) 薄膜在  $0.2 \sim 6.0 \mu\text{m}$  波长范围内的透射和反射谱及其光致发光谱的测量结果, 并由此对 CTO 膜光学性质进行了较详细的理论分析和讨论.

**关键词**  $\text{Cd}_2\text{SnO}_4$  薄膜, 透射和反射谱, 光致发光谱.

## 1 引 言

与众所周知的  $\text{SnO}_2 : \text{Sb}$  和  $\text{In}_2\text{O}_3 : \text{Sn}$  涂层材料一样,  $\text{Cd}_2\text{SnO}_4$  薄膜是一种宽带隙高简并的 n 型半导体膜. 在光电子和太阳能转换装置等方面具有诱人的应用前景<sup>[1]</sup>. 目前, 人们对 CTO 膜的晶体结构、物理性质以及制备方法进行了广泛的研究<sup>[2~8]</sup>, 但关于 CTO 薄膜的光学特性方面的研究并不深入和详细. 作者<sup>[9,10]</sup>曾对射频反应性溅射 Cd-Sn 合金靶沉积的 CTO 膜的结构和物理性质进行了初步研究. 在此基础上, 本文将根据沉积膜的电学和光学性质的测量结果, 从理论上进行详细的分析、计算和讨论, 找出电学和光学性质之间的相互关系.

## 2 实 验

### 2.1 薄膜的制备

CTO 膜是在  $\text{Ar} + \text{O}_2$  混合气氛中射频反应性溅射 Cd-Sn 合金靶沉积获得的. 实验采用纯度为 99.99% 的金属 Cd 和 Sn 作成原子比为 2 : 1 的合金靶, 其直径为 100 mm. 靶与玻璃衬底间的距离为 30 mm, 溅射功率为 400 W. 工作气体为一定氧浓度的  $\text{Ar} + \text{O}_2$  混合气体. 在溅射期间保持气体压强为 1.33 Pa. 样品沉积时间为 30 分钟. 沉积后薄膜热处理是在稳定的氩气中在 500°C 下退火 2 小时.

### 2.2 测量仪器

薄膜厚度的测量采用多光束干涉仪. 在 1T 电磁场中测量 CTO 膜的霍耳系数. 透光率 T 和反射率 R 的测量采用 Perkin-Elmer UV/VIS/NIR 和 170 SX FT-IR 双光束分光光度计(波长范围为  $0.2 \sim 6.0 \mu\text{m}$ ). 光致发光谱的测量采用 M850 荧光分光光度计在  $-196^\circ\text{C}$  下进行.

## 3 结果与讨论

收稿日期: 1992 年 5 月 18 日; 收到修改稿日期: 1992 年 7 月 27 日

\* 甘肃省自然科学基金资助的课题

CTO 膜的电学和光学性质依赖于混合气体氧浓度,衬底温度及其沉积后热处理<sup>[9,10]</sup>. 本文仅对氧浓度为 6% 和衬底温度为 400°C 时沉积的 CTO 膜热处理后的实验结果进行了分析和讨论. 测得该膜的电阻率、霍耳系数和载流子浓度分别为  $1.74 \times 10^{-6} \Omega \cdot m$ 、 $-1.40 \times 10^{-8} m^3/C$  和  $4.46 \times 10^{26} m^{-3}$ .

图 1 是 CTO 膜在 0.2~6.0 μm 波长范围内的透射和反射谱测量曲线. 从图可以看出, 光谱可分为三个区域: 紫外吸收区(I); 可见光及近红外透射区(II); 等离子反射边区(III). 在 I 区, 射入的紫外光基本全部被 CTO 膜吸收, 反射光很弱. 在吸收边上, 透射率  $T$  为<sup>[11]</sup>

$$\left. \begin{aligned} T &= \frac{(1 - R_1)(1 - R_2)(1 - R_3)\exp(-at)}{(1 - R_1R_2)\{1 - R_2R_3\exp(-2at) - 2\sqrt{R_2R_3}\exp[\cos\phi(-at)]\}}, \\ R_1 &= [(n_s - 1)/(n_s + 1)]^2, \quad R_2 = [(n_f - n_s)/(n_f + n_s)]^2, \\ R_3 &= [(n_f - 1)/(n_f + 1)]^2, \quad \phi = 4\pi n_f t / \lambda, \end{aligned} \right\} \quad (1)$$

式中  $a$  为光吸收系数,  $n_s$  和  $n_f$  分别为玻璃衬底和 CTO 膜的折射率,  $t$  为 CTO 膜的厚度,  $\lambda$  为波长. CTO 膜的折射率  $n_f$  可由下式求得<sup>[2]</sup>

$$n_f = M\lambda_1\lambda_2/2t(\lambda_1 - \lambda_2), \quad (2)$$

式中,  $\lambda_1$  和  $\lambda_2$  分别是 II 区中两个极小或极大值所对应的波长, 并认为  $n_f \approx n_f(\lambda_1) \approx n_f(\lambda_2)$ .  $M$  为两极值点之间干涉级次之差值. 由(1) 和(2) 式可求出吸收边上光吸收系数  $a$ , 其值列于表 1 中. 当  $a > 10^4 \text{ cm}^{-1}$  时,  $a$  与能量的关系可由下式给出<sup>[2,4]</sup>

$$(ahv)^{1/2} = B(hv - E_{opt}), \quad (3)$$

式中  $B$  为常数,  $E_{opt}$  为 CTO 膜的光隙能. 因此,  $(ahv)^{1/2}$  与  $hv$  的关系应是线性的, 并当吸收系数  $a = 0$  时, 也即将拟合直线外推至  $hv$  轴时, 所得截距即为 CTO 膜的光隙能  $E_{opt}$ . 如图 2 所示. 由图 2 可见, 实验点的拟合的确是线性的, 并得到 CTO 膜的光隙能为  $E_{opt} = 2.636 \text{ eV}$ .

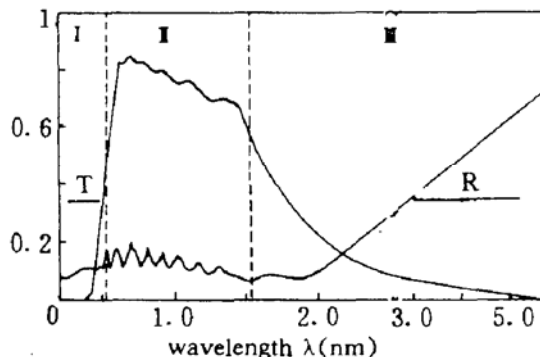


Fig. 1 Optical transmission  $T$  and reflection  $R$  spectra for CTO film with free carrier concentration  $n = 4.46 \times 10^{26} m^{-3}$

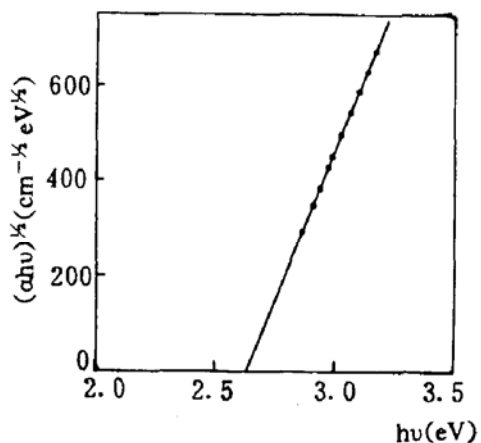


Fig. 2  $(ahv)^{1/2}$  vs  $hv$  for CTO film

Table 1

$hv(\text{eV})$	3.164	3.135	3.101	3.061	3.024	2.988	2.973	2.931	2.910	2.868
$\alpha(\text{cm}^{-1})$	142938.1	125990.5	106629.1	95297.4	81031.9	67908.3	61672.8	50346.6	42310.8	30302.3
$(ahv)^{1/2}$ ( $\text{cm}^{-1/2} \text{ eV}^{1/2}$ )	672.5	628.5	575.0	540.1	495.0	450.4	428.2	384.1	350.9	294.8

由图 1 还可见, CTO 膜在可见光区透明, 在红外区高反射。对于这一特性, 可采用经典的 Drude 理论来进行解释:

$$\epsilon' = N^2 - k^2 = \epsilon_L - \omega_n^2 / (\omega^2 + r^2) \quad (4)$$

$$\epsilon'' = 2Nk = \frac{r}{\omega} \cdot \frac{\omega_n^2}{\omega^2 + r^2} \quad (5)$$

式中  $\epsilon'$  和  $\epsilon''$  分别为介电常数的实部和虚部,  $N$  为折射率,  $k$  为消光系数,  $\epsilon_L$  为晶格原子极化引起的介电常数, 它可从可见光透射区中的折射率测量而得到, 其关系式为<sup>[12]</sup>  $\epsilon_L = n_f^2$ 。波长  $\lambda$  与  $\omega$  的关系为  $\lambda = 2\pi C_0 / \omega$ ,  $C_0$  为光速。 $\omega_n$  和  $r$  与载流子浓度  $n$  和迁移率  $\mu$  有关, 其关系式为:

$$\omega_n = \frac{ne^2}{\epsilon_0 m_e^*}, \quad r = \frac{em_e^*}{\mu}, \quad \epsilon_0 \text{ 为真空中的介电}$$

常数,  $m_e^*$  为载流子的有效质量。当  $\epsilon'$  越过  $\epsilon' = 0$  值时, 材料光学性质将剧烈地变化。当  $\epsilon' = 0$  时, 相对应的电子气形成等离子体集体振荡状态, 其振荡频率为  $\omega_p$ , 对应波长为  $\lambda_p$ , 并把  $\lambda_p$  定义为电子材料的等离子波长。在此波长处, 材料的光学性质由类金属的红外反射改变为类电介质的可见光透射。由(4)式可得:

$$\lambda_p = 2\pi C_0 \left( \frac{ne^2}{\epsilon_0 \epsilon_L m_e^* - r} \right)^{-1/2} \quad (6)$$

由于  $r$  的值相当小, 因此一般可忽略。由(6)式可看出, 当载流子浓度  $n$  增大时, 等离子反射边向短波方向移动。这样, 就可通过改变氧浓度、添加元素等手段使 CTO 膜的载流子浓度发生变化, 从而达到调节等离子波长  $\lambda_p$  的目的。同样, 如果已知等离子波长  $\lambda_p$  的值, 那么就可以找出载流子的有效质量与其浓度的关系。由图 1 可见, 在本实验条件下沉积的 CTO 膜的  $\lambda_p$  为  $2.18 \mu\text{m}$ , 根据(6)式求得的载流子有效质量为  $0.47 \text{ m}$ 。

图 3 为 CTO 膜的光致发光谱, 图中两个发光强度峰分别处在波长  $575 \text{ nm}$  和  $750 \text{ nm}$  处, 分别对应光子能量为  $2.156 \text{ eV}$  和  $1.653 \text{ eV}$ 。由图 3 可见, 尽管在不同条件下沉积的 CTO 膜的载流子浓度不同, 但其发光谱中出现的两个峰的位置是不变的。因非晶 CTO 膜的本征光隙能为  $2.06 \text{ eV}$ <sup>[2]</sup>, 所以可认为光致发光谱强峰( $2.156 \text{ eV}$ )对应于晶态 CTO 膜的本征光隙能, 也即禁带宽度  $E_g = 2.156 \text{ eV}$ 。由于光隙能的计算值为  $2.636 \text{ eV}$ , 所以, 这也明显表明 CTO 膜是高禁带半导体。另外, 由图 3 还可见,  $1.653 \text{ eV}$  所对应的峰的强度随着 CTO 膜中载流子浓度(对应氧空位浓度)的增加而增大, 所以, 可以认为该峰是由非本征跃迁引起的, 对应于电子向深能级的氧空位施主态的跃迁。

如果假设晶态 CTO 膜的导带底的能量是球面形状的并且只是导带具有较高的曲率, 那么有关系式<sup>[13]</sup>:

$$n = (8\pi/3h^3)(2m_e^* \cdot \Delta E)^{3/2} \quad (7)$$

式中  $n$  为载流子浓度,  $\Delta E$  为 Burstein 移动, 即  $\Delta E = E_{opt} - E_g$ 。由(7)式求得流子浓度为  $4.46 \times$

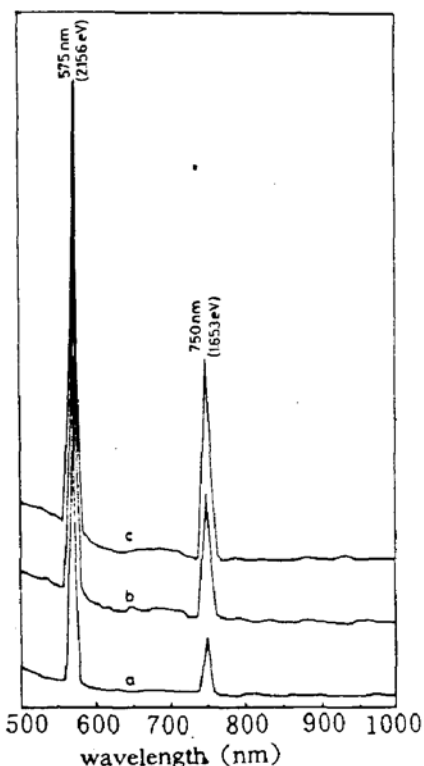


Fig. 3 Photoluminescence spectra of CTO films with carrier concentration: (a)  $9.40 \times 10^{25} \text{ m}^{-3}$ ; (b)  $1.39 \times 10^{26} \text{ m}^{-3}$ ; (c)  $4.46 \times 10^{26} \text{ m}^{-3}$

$10^{26} \text{ m}^{-3}$  的 CTO 膜的载流子有效质量为  $0.48 \text{ m}_0$ .

综合以上分析可以看出,采用两种不同途径计算得到的载流子有效质量值( $0.47 \text{ m}_0$  和  $0.48 \text{ m}_0$ )相当一致,并且与 Pisarkiewicz *et al* [8]用测量热电动势的方法得到的有效质量值( $0.50 \text{ m}_0$ )也是十分吻合的,这也意味着本文提出的理论计算方法是合理的.

### 参 考 文 献

- [1] A. L. Dawar, J. C. Joshi, Review semiconducting transparent thin films: their properties and applications. *J. Mater. Sci.*, 1984, **19**: 1~23
- [2] A. J. Nozik, Optical and electrical properties of  $\text{Cd}_2\text{SnO}_4$ ; a defect semiconductor. *Phys. Rev. B*, 1972, **6**(2): 453~459
- [3] G. Haacke, Transparent electrode properties of cadmium stannate, *Appl. Phys. Lett.*, 1976, **28**(10): 622~623
- [4] N. Miyata, K. Miyake, Transparent conducting cadmium-tin oxide films deposited by rf sputtering from a  $\text{CdO-SnO}_2$  target, *J. Electrochem. Soc.*, 1980, **127**: 918~920
- [5] G. Haacke, H. Ando, W. E. Melmaker, Spray deposition of cadmium stannate films. *J. Electrochem. Soc.*, 1977, **124**(12): 1923~1926
- [6] N. Miyata, K. Miyake, Transparent electrode properties of Cd-Sn oxide films by dc reactive sputtering. *Surf. Sci.*, 1979, **86**: 384~388
- [7] E. Leja, K. Budzynska, T. Pisarkiewicz *et al*.,  $\text{Cd}_2\text{SnO}_4$  thin films obtained by DC reactive sputtering of Cd-Sn Alloys. *Thin Solid Films*, 1983, **100**: 203~208
- [8] T. Pisarkiewicz, K. Zakrzewska, E. Leja, Preparation, electrical properties and optical characterization of  $\text{Cd}_2\text{SnO}_4$  and  $\text{CdIn}_2\text{O}_4$  thin films as transparent and conductive coatings. *Thin Solid Films*, 1987, **153**: 479~486
- [9] 蒋生蕊, 彭栋梁, 孙文红等, 射频反应性溅射 Cd-Sn 合金靶沉积透明导电  $\text{Cd}_2\text{SnO}_4$  薄膜. 太阳能学报, 1992, **13**(2): 118~121
- [10] 彭栋梁, 蒋生蕊, 王万录, 热处理对射频反应性溅射 Cd-Sn 合金靶沉积的  $\text{Cd}_2\text{SnO}_4$  薄膜电学和光学性质的影响. 太阳能学报, 1992, **13**(3): 290~294
- [11] 王万录, 陈步亮, 廖克俊, 掺杂  $\text{SnO}_2$  膜塞克效应及其某些性质的实验分析, 太阳能学报, 1990, **11**(3): 335~338
- [12] R. P. Howson, M. I. Ridge, C. A. Bishop, Production of transparent electrically conducting films by ion plating. *Thin Solid Films*, 1981, **80**: 137~142
- [13] T. S. Moss, The interpretation of the properties of indium antimonide. *Proc. Phys. Soc. (London)*: 1954, **B67**: 775~782

### Optical properties of transparent and conductive $\text{Cd}_2\text{SnO}_4$ films

PENG Dongliang JIANG Shengrui

(Department of Physics, Lanzhou University, Lanzhou 730000)

(Received 18 May 1992; revised 27 July 1992)

### Abstract

The transmission and reflection spectra at wavelength between 0.2 and 6.0  $\mu\text{m}$ , and photoluminescence spectra of  $\text{Cd}_2\text{SnO}_4$  films deposited by RF reactive sputtering from a Cd-Sn alloy target have been measured. The optical properties of  $\text{Cd}_2\text{SnO}_4$  films are analyzed and calculated theoretically in detail.

**Key words**  $\text{Cd}_2\text{SnO}_4$  film, transmission and reflection spectra, photoluminescence spectra.